

ՏԵՂԵԿԱԳԻՐ ՀԱՅԿԱԿԱՆ ՍՈՒ ԳԻՏՈՒԹՅՈՒՆՆԵՐԻ ԱԿԱԴԵՄԻԱՅԻ  
ИЗВЕСТИЯ АКАДЕМИИ НАУК АРМЯНСКОЙ ССР

Ֆիզ.-մաթ., թե. և տեխ. գիտութ. III, № 1, 1950 Փիզ.-մաթ., բնական գիտութ.

ГИДРАВЛИКА

И. В. Егиазаров

К определению начальной влекущей силы транспорта наносов. Уточнение уравнений расхода влекомых потоком наносов

Лобовое воздействие потока на обтекаемое зерно наноса определяется силой

$$F = C_x \rho d^2 \frac{V^2}{2},$$

где  $C_x$  — безразмерный коэффициент лобового сопротивления, зависящий от формы и условий обтекания зерна.

Сила, необходимая для влечения потоком зерна, связана с весом зерна в потоке и равна

$$F = f' (\gamma_n - \gamma) d^3,$$

где  $f'$  — безразмерный коэффициент трения, зависящий от относительной шероховатости русла.

Начальное критическое состояние получается при равенстве этих двух сил, т. е. при:

$$C_x \rho d^2 \frac{V^2}{2} = f' (\gamma_n - \gamma) d^3,$$

и т. к.

$$V^2 = C^2 R_0 i,$$

то

$$C_x C^2 \frac{\rho}{2} R_0 i = f' (\gamma_n - \gamma) d$$

или начальная влекущая сила:  $S_0 = \gamma R_0 i = 2g \frac{f'}{C^2 C_x} (\gamma_n - \gamma) d$ . (1)

Обозначая  $f = 2g \frac{f'}{C^2 C_x} = \frac{f'}{C_x}$ , (2)

напишем  $S_0 = f (\gamma_n - \gamma) d$ . (3)

Т. к.  $f = \frac{S_0}{(\gamma_n - \gamma) d}$ , то следовательно  $f$  — безразмерно.

$$\text{т. к. } C_x = \varphi(Re_d) \quad \text{и} \quad C = \varphi\left(\frac{R}{d}, \frac{C}{Re_R}\right),$$

то следовательно  $f = \varphi\left(C_x, \frac{R}{d}, \frac{C}{Re_R}\right)$ , где

$$Re_R = \frac{v_0 R}{\nu} \quad \text{и} \quad Re_d = \frac{v_0 d}{\nu}.$$

С другой стороны, Шильдс [8] показал, что  $f = \psi(Re_{*d}) = \varphi\left(\frac{d}{\delta}\right)$ ,

где  $Re_{*d} = \frac{v_* d}{\nu}$ ;  $\delta$  — толщина придонного ламинарного слоя.

Следовательно,

$$\varphi(Re_{*d}) = \varphi\left(\frac{R}{d}, \frac{C}{Re_d}, Re_d\right) \quad (4)$$

$$\text{Для квадратичного потока } C = \varphi\left(\frac{R}{d}\right)$$

и, следовательно, для квадратичного потока

$$f = \varphi\left(Re_d, \frac{R}{d}\right) = \varphi(Re_{*d})$$

Для значений  $Re_d > 2 \cdot 10^6$  значение коэффициента лобового сопротивления для шара падает до  $C_x = 0,2 = \text{const}$ . и, следовательно, для  $Re_d > 2 \cdot 10^5$

$$f = \varphi\left(\frac{R}{d}\right) = \varphi(Re_{*d})$$

Таким образом число Рейнольдса, отнесенное к скорости касательного напряжения (скорости трения)  $v_*$  и к размеру зерна  $d$ , охватывает влияния: квадратичности или неквадратичности потока, квадратичности или неквадратичности обтекания зерна, и относительной шероховатости.

Если считать, что  $f'' = 2g \frac{f'}{C^2} \cong \text{const}$ , то величина  $f$ , в основном, зависит от  $C_x$ :

$$f = \varphi\left(\frac{1}{C_x}\right) \quad (5)$$

и должна следовать за изменениями  $C_x = \varphi(Re_d)$

Т. к.  $C_x$  для шара в пределах  $Re_d = \text{от } 10^3 \text{ до } 2 \cdot 10^6$  изменяется слабо, от значения 0,4 до значения 0,5, то и  $f$  в этих пределах для  $Re_d$  должно почти оставаться постоянным.

Для значений  $Re_d > 2 \cdot 10^6$  значение  $C_x$  падает вдвое и далее остается постоянным и, следовательно, значение  $f$  должно вдвое возрасти и далее оставаться постоянным.

Для формы зерна, отличной от шара, значение величины  $f$  должно следовать за значением  $C_x$  для измененной формы зерна. Так, для зерна пластинчатой формы, при обычном, черепицеобразном расположении пластинок в потоке, при угле атаки около  $10-15^\circ$ , значение  $C_x$  равно  $0,15-0,20$ , и значение  $f$  должно быть близким (несколько большим), чем величина, полученная для шара при  $Re_d > 2 \cdot 10^5$  и раза в три больше такого же значения соответствующего  $Re_d = 10^5$  до  $15^5$ .

По опытам Шоклича [1] для ламелей  $S_0$  в  $\sqrt{4,38} = 2,1$  раза больше чем для шара.

Влияние смеси разных фракций зерен наноса должно сказываться в том, что меньшие по размеру фракции дадут меньшее значение  $Re_d$  и, следовательно, большее значение  $C_x$  и меньшее значение  $f$ , чем крупные, что должно повлиять на средневзвешенное значение  $C_x$  и  $f$ , а следовательно, на интегральное значение  $S_0$ .

При одной и той же средней крупности  $d_{cp}$  для смеси наносов изменение  $f$  приведет к изменению  $S_0$ , если эти фракции дадут значения для  $C_x$ , лежащие по разные стороны  $Re_d = 2 \cdot 10^5$ .

Если скорости потока и крупности фракций настолько велики, что для основных фракций  $Re_d > 2 \cdot 10^5$  (для наносов, близких к сферической форме), то  $f$  не будет зависеть от состава смеси и  $S_0 = f(\gamma_u - \gamma) d_{cp}$  будет зависеть только от значения  $d_{cp}$ .

Следовательно, для наносов, влекомых горными потоками с одной стороны ( $Re_d > 2 \cdot 10^5$ , и для опытов в лотках и на моделях—с другой стороны ( $Re_d < 2 \cdot 10^5$ ), нет оснований для введения кроме  $d_{cp}$  для смеси наносов еще и модуля смеси  $M < 1$ , введенного Крамером [6].

Как показали экспериментальные исследования USWES [2, стр. 43], Казея [3], Чанга [4], Индри [5], большое влияние, приписанное модулю смеси Крамером [6], поставившим  $S_0$  в линейную зависимость от  $\frac{d_{cp}}{M}$ , не оправдалось.

Казея и Индри перешли к зависимости от  $\frac{d_{cp}}{\sqrt{M}}$ ; Чанг [4, стр. 260] отрицает влияние  $M$  и пишет: "модуль неоднородности смеси  $M$  не имеет ничего общего с критической (начальной) влекущей силой и может быть опущен".

Изложенный выше анализ, основанный на связи  $f$  с  $C_x$ , приводит к обоснованию положений, частично установленных экспериментально, эмпирически.

Чанг, основываясь на результатах экспериментов, отмечает необходимость введения влияния отношения  $\frac{d_{max}}{d_{min}}$ . Это отношение должно влиять на  $C_x$ , а, следовательно, на  $f$  и таким образом полностью отражено в выражении

$$S_0 = f(\gamma_n - \gamma) d.$$

Дюбуа [7] еще в 1879 году пришел к такому же выражению для  $S_0 = f(\gamma_n - \gamma) t'$ , где  $t'$  — толщина одного слоя гальки, т. е. равно  $d_{cp}$ .

Но Дюбуа неправильно выразил расход донных наносов через

$$g = \psi S(S - S_0) = \gamma \frac{t' v_0}{2 S_0^2} S(S - S_0) = \gamma \frac{dv_0}{2} \frac{S}{S_0} \left( \frac{S - S_0}{S_0} \right),$$

так как считал, что в расходе наносов участвует  $n$  слоев наноса и что движение слоев линейно затухает к  $n$ -му слою.

Индри [5], вводящий влияние модуля неоднородности наносов  $M$ , предлагает для  $S_0$  выражение  $S_0 = 0,030 (\gamma_n - \gamma) \frac{d_{cp}}{\sqrt{M}} - \text{кг}/\text{м}^2$ , полученное по лабораторным опытам.

Введение  $\sqrt{M}$  искажает зависимость  $S_0$  от  $d_{cp}$  и, следовательно, искажает зависимость  $f$  от  $Re_d$ .

Автором использованы опыты многочисленных исследователей (см. таблицу) и получена зависимость (фиг. 1) для  $f = \varphi(Re_d)$  и для  $S_0 = \varphi[(\gamma_n - \gamma) d_{cp}]$  (фиг. 2), которая дает для  $f$  значение 0,030 для малых  $Re_d$  и 0,6 для больших, что отвечает отмеченным выше изменениям  $C_x$ .

То обстоятельство, что для больших значений  $Re_d$  величина  $f$  остается неизменной, указывает на малое влияние относительной шероховатости и подтверждает предположение о том, что  $f'' = 2g \frac{f'}{C^2} \cong \text{const.}$

Таким образом, многочисленные, обработанные автором опыты разных исследователей подтверждают зависимость, полученную Шильдсом [8] по немногочисленным опытам.

Переход от значения  $f$ , равного 0,030 (у Шильдса 0,033), к значению 0,060, Шильдс связал с условиями обтекания при различных соотношениях размера выступов шероховатости  $d$  и толщины ламинарного слоя.

Но Шильдс не дал приведенного выше обоснования перехода от минимального значения  $f = 0,030$ , к максимальному  $f = 0,060$  для больших значений  $Re_d$ .

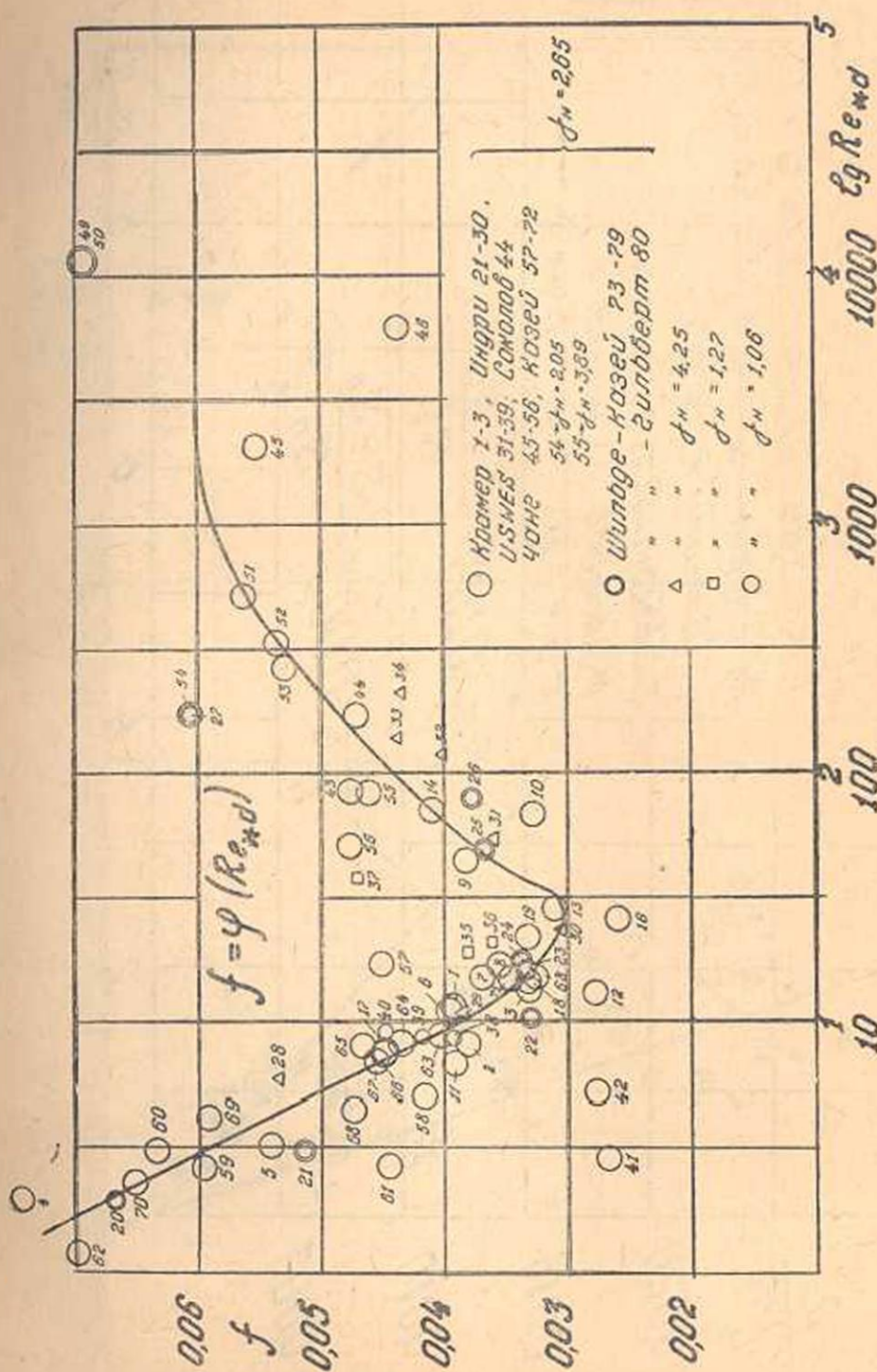
Для очень мелких фракций обтекание является ламинарным, что сказывается на значениях для  $S_0$  и для  $f$ .

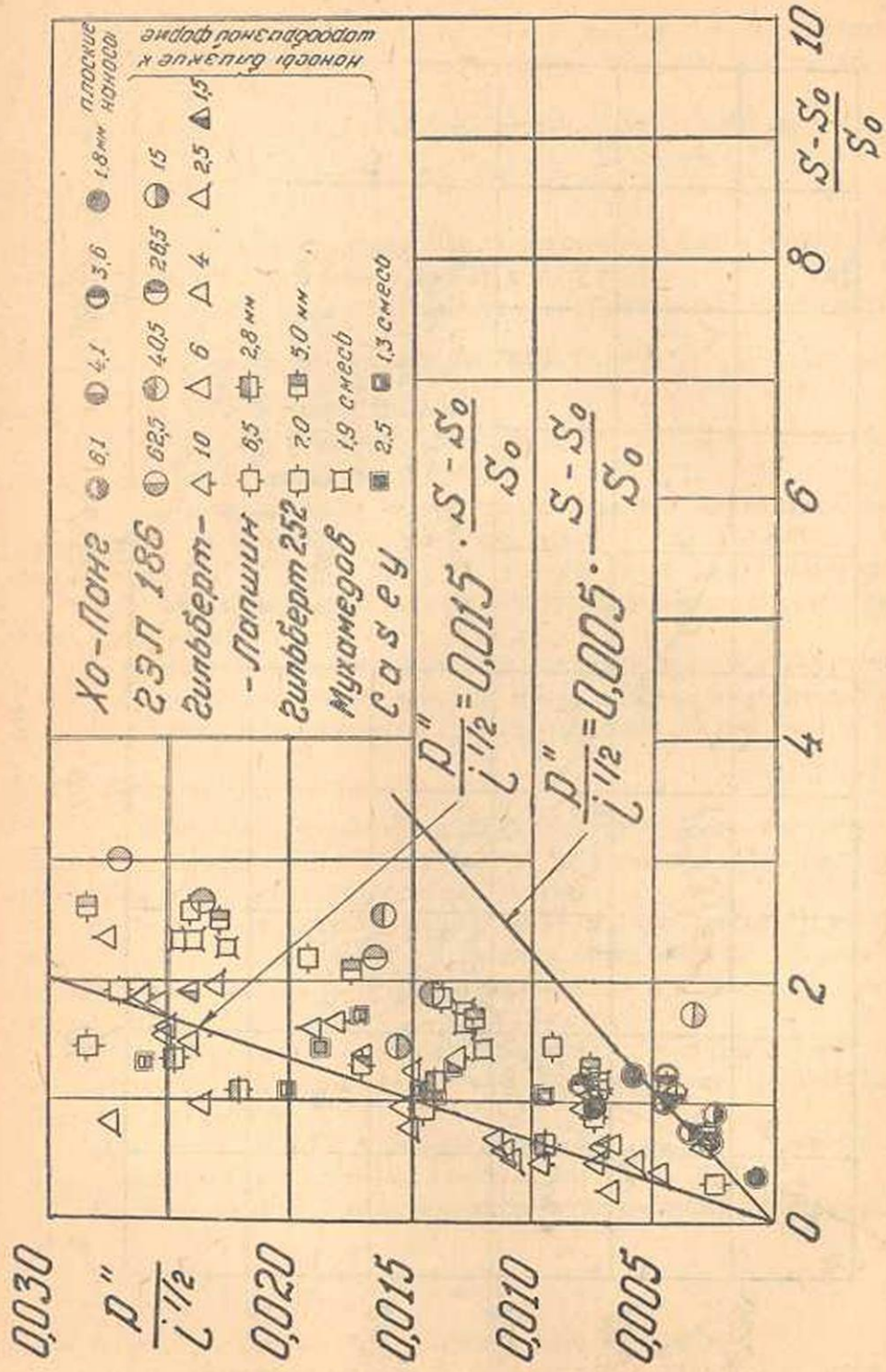
Шильдс показал, что  $S_0$  стремится к постоянному пределу, равному

$$S_0 = \left( \frac{\gamma}{g} \right)^{1/2} [0,1 v (\gamma_n - \gamma)]^{1/2} \neq \varphi(d) \quad (6)$$

для  $\gamma_n = 2,7; v = 1; \gamma = 0,012$ , значение  $S_0 = 0,016 \text{ кг}/\text{м}^2$ .

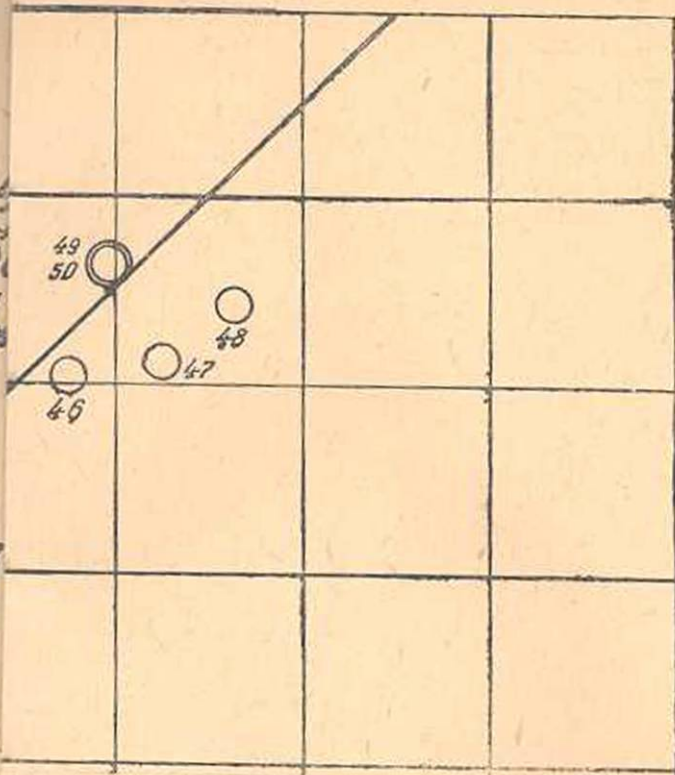
Следовательно, значения  $f$  возрастают в ламинарной зоне с уменьшением  $d$  и с уменьшением  $Re_d$  (см. фиг. 1).





Фиг. 3.

*tg S  
ep/a*



3



Влияние формы зерна заметно оказывается при резком отходе формы от приближенно шарообразной.

На фиг. 3 дано сопоставление расхода влекомых наносов для обычных наносов и очень плоских, по опытам Хэнпана [7]. На фиг. 3 видно уменьшение углового коэффициента в 3 раза, что соответствует изменению коэффициента  $f$  примерно в 2 раза.

Таким образом, в предложенном автором [10, 11], для расхода влекомых наносов, критериальном уравнении с безразмерными комплексами

$$\frac{p''}{i^{1/2}} = \varphi \left( \frac{S - S_0}{S_0} \right) \quad (7)$$

необходимо считать  $S_0$  с учётом влияния изменений коэффициента  $f$ .

Зависимость между комплексами  $\frac{p''}{i^{1/2}}$  и  $\frac{S - S_0}{S_0}$  получилась

$$[10, 11] \text{ линейная и } \frac{p''}{i^{1/2}} = 0,015 \frac{S - S_0}{S_0} \quad (8)$$

расчетная формула для расхода наносов была приведена к такому виду:

$$g'' = \frac{0,015}{f} \gamma q' i^{1/2} \frac{R}{d} \left[ 1 - f \frac{\gamma_n - \gamma}{\gamma} \cdot \frac{d}{Ri} \right] \quad (9)$$

Поэтому, исходя из полученного на фиг. 1 и 2 значения  $f=0,030$  при таких значениях  $Re_d$ , когда  $C_x = 0,4$ , можно выразить  $f$  следующей зависимостью от  $C_x$ :

$$f = \frac{0,012}{C_x} \quad (10)$$

и уравнение для расхода влекомых наносов получит такое выражение:

$$g'' = C_x \gamma q' i^{1/2} \frac{R}{d} \left[ 1 - \frac{0,012 \gamma_n - \gamma}{C_x} \frac{d}{Ri} \right] \quad (11)$$

Следовательно, для горных потоков, при неизбежно больших значениях  $Re_d$ , при  $C_x$ , близком к 0,2 для неплоских наносов, расход наносов будет, при прочих равных условиях, примерно вдвое меньше, чем по лабораторным экспериментам в лотках, для которых нужно считать  $C_x = 0,4 \sim 0,5$ .

Таким образом, уравнение (11) моделирует явление при условии принятия правильного значения  $C_x$  в соответствии с режимом потока и условиями обтекания зерна.

Сопоставление данных различных исследований

№ опыта	Лаборатория автор	d	d ( $\gamma_{\text{н}} - \gamma$ )	$S_0 = R_0 i$	Ig S <sub>0</sub>	Ig 10 <sup>4</sup> [d ( $\gamma_{\text{н}} - \gamma$ )]	v <sub>*</sub> = $\sqrt{g R_0 i}$	Re <sub>*d</sub> = $\frac{v_* d}{\nu}$	Ig Re <sub>*d</sub>	f = $\frac{S_0}{d(\gamma_{\text{н}} - \gamma)}$
		мм	2р/см <sup>2</sup>	2р/м <sup>2</sup>	6	7	8	9	10	11
1	2	3	4	5	6	7	8	9	10	11
1	Берлинская Лаборатория, Крамер	0,7	0,120	47	1,672	3,078	2,17	11,70	1,068	0,0392
2		0,56	0,095	36	1,555	2,978	1,90	8,20	0,913	0,0380
3		0,8	0,136	45	1,653	3,133	2,12	13,00	1,114	0,0330
4	То же, Казей	0,17	0,028	21	1,322	2,446	1,45	1,90	0,278	0,0750
5		0,27	0,014	24	1,380	2,647	1,55	3,22	0,507	0,5400
6		0,68	0,114	45	1,652	3,057	2,12	11,10	1,046	0,0396
7		0,87	0,144	53	1,724	3,158	2,30	15,35	1,186	0,0386
8		0,94	0,155	55	1,740	3,190	2,35	17,00	1,231	0,0355
9		1,75	0,290	112	2,115	3,462	3,35	45,00	1,653	0,0382
10		2,5	0,410	134	2,127	3,612	3,65	70,25	1,846	0,0327
11		0,5	0,082	32	1,506	2,916	1,79	6,88	0,837	0,0390
12		0,9	0,152	42	1,623	3,182	2,05	14,20	1,153	0,0276
13		1,3	0,217	67	1,826	3,336	2,60	26,00	1,464	0,0309
14		0,5	0,086	35	1,544	2,934	1,87	7,18	1,855	0,0408
15		0,9	0,148	48	1,680	3,170	2,20	15,25	1,183	0,0325
16		1,4	0,225	60	1,778	3,352	2,45	26,40	1,421	0,0258
17		0,5	0,875	39	1,591	2,941	1,98	7,60	0,880	0,0445
18		0,9	0,148	49	1,690	3,170	2,21	15,30	1,180	0,0330
19		1,25	0,205	68	1,831	3,312	1,61	25,00	1,348	0,0331
20	Берлинская Лаборатория, Шильде	$\gamma_{\text{н}} = 2,7$	0,027	18	1,254	2,431		1,90	0,280	0,0667
21			0,041	21	1,323	2,612		3,10	0,491	0,0513
22			0,110	35	1,544	3,042		10,50	1,021	0,0328
23			0,150	50	1,700	3,176		16,00	1,004	0,0333
24			0,160	53	1,724	3,204		18,00	1,255	0,0331
25			0,280	102	2,008	3,447		50,00	1,700	0,0365
26			0,400	150	2,175	3,602		80,00	1,903	0,0375
27	$\gamma_{\text{н}} = 4,25$		1,150	700	2,844	4,060		215,00	2,332	0,0605
28			0,062	33	1,520	2,792		6,00	0,777	0,0533
29			0,115	44	1,643	3,060		11,00	1,040	0,0383
30			0,220	67	1,825	3,343		24,00	3,380	0,0304
31			0,460	165	2,217	3,662		55,00	1,740	0,0359
32			0,750	300	2,477	3,875		120,00	2,080	6,0400

1	2	3	4	5	6	7	8	9	10	11
33			0,870	380	2,580	3,939		140,00	2,146	0,0437
34			1,150	500	2,700	4,060		210,00	2,322	0,0433
35		$\gamma_n = 1,27$	0,045	17	1,230	2,653		19,00	1,279	0,0379
36			0,050	18	1,255	2,700		21,00	1,322	0,0360
37			0,068	32	1,504	2,832		38,00	1,579	0,0470
38		$\gamma_n = 1,06$	0,0092	3,6	0,556	1,964		8,70	0,940	0,0391
39			0,0092	3,8	0,579	1,964		8,80	0,945	0,0413
40			0,0092	4,1	0,613	1,964		9,10	0,960	0,0445
41	Падуанская Лаборатория.	0,32	0,053	14	1,146	2,724	1,18	2,9	0,462	0,0265
42		0,47	0,081	22	1,342	2,905	1,48	5,35	0,728	0,074
43	Индри	0,25	0,425	201	2,303	3,628	4,50	86,30	1,936	0,0475
44		0,40	0,680	319	2,503	3,852	5,65	173,50	2,239	0,0470
45		20,00	3,300	1810	3,258	4,518	13,50	2080,00	3,317	0,0550
46		45,00	7,450	3229	3,526	4,872	18,00	6250,00	3,795	0,0434
47		80,00	13,200	3674	3,564	5,120	19,10	11750,00	4,070	0,0270
48		125,00	20,500	5160	3,713	5,312	22,70	21800,00	4,338	0,0252
49		58,80	9,700	6718	3,827	4,9% <sup>6</sup>	26,00	11750,00	4,070	0,0693
50		58,80	9,700	6703	3,826	4,986	26,00	11750,00	4,070	0,0692
51	Манчестерская Лаборатория	8,1	1,250	705	2,848	4,096	8,40	523,00	2,718	0,0560
52		6,5	1,020	544	2,735	4,008	7,40	370,00	2,567	0,0533
53	проф. Гибсона,	5,3	0,825	435	2,638	3,916	6,60	270,00	2,430	0,0528
54	Чаиг	3,8	0,590	356	2,551	3,770	6,00	175,00	2,242	0,0605
55		2,5	0,412	189	2,275	3,614	4,35	83,50	1,921	0,0459
56		1,8	0,286	136	2,134	3,456	3,70	51,20	1,709	0,0475
57		0,89	0,142	64	1,806	3,152	2,53	17,30	1,238	0,4050
58		0,4	0,065	27	1,431	2,812	1,64	5,05	0,703	0,0415
59		0,27	0,037	22	1,343	2,568	1,48	2,62	0,418	0,0595
60		0,29	0,030	19	1,278	2,477	1,38	3,08	0,488	0,0635
61		0,21	0,061	27	1,431	2,785	1,64	2,65	0,423	0,0043
62		0,13	0,020	14	1,147	2,301	1,18	1,18	0,072	0,0700
63	Виксбургская лаборатория	0,59	0,097	39	1,590	2,986	1,98	8,97	0,952	0,0402
64		0,54	0,090	39	1,590	2,954	1,98	8,23	0,915	0,0433
65	USWES	0,52	0,086	40	1,603	2,935	2,00	8,08	0,907	0,0465
66		0,51	0,083	37	1,578	2,919	1,92	7,53	0,876	0,0446
67		0,48	0,079	36	1,556	2,900	1,90	7,00	0,845	0,0453
68		0,35	0,057	27	1,431	2,755	1,64	4,40	0,643	0,0473
69		0,31	0,051	30	1,476	2,707	1,73	4,14	0,616	0,0590
70		0,20	0,034	22	1,342	2,527	1,48	2,27	0,356	0,0650
71		411	0,670	231	2,363	3,826	4,80	152,00	1,180	0,0345

## ЛИТЕРАТУРА

1. Schoklitsch—Ueber Schleppkraft und Geschiebebewegung. 1914.
2. Paper 17 of the U. S. Waterways Experiment Station. 1935. Studies of river bed materials and their movement.
3. Casey—Ueber Geschiebebewegung. Mitteilungen der Versuchsanstalt für Wasserbau und Schiffbau, Heft 19, 1935.
4. Chang—Laboratory investigation of flume traction and transportation. Trans. Am. S. C. E., V. 104, 1247—1284, 1939.
5. Indri—Il problema del transito solido ed i risultati di recenti ricerche. Energia Elettrica. 1941. Feb., Marzo, Aprile.
6. Kramer—Modellgeschiebe und Schleppkraft. Mitteilungen der Versuchsanstalt für Wasserbau und Schiffbau, Heft 9, 1932.
7. Duboys—Etude du régime du Rhône et de l'action exercée par les eaux sur un lit à fond de graviers infiniment affouillables. Ann. des ponts et chausées. 1879.
8. Shields—Anwendung der Ähnlichkeitsmechanik und der Turbulenzforschung auf die Geschiebebewegung. Mitteilungen der Versuchsanstalt für Wasserbau und Schiffbau, Heft 26, 1936.
9. Ho-Paig-Yung—Abhängigkeit der Geschiebebewegung von der Kornform und der Temperatur. Mitteilungen der Versuchsanstalt für Wasserbau und Schiffbau, Heft 37, 1939.
10. И. В. Егиазаров—Расход влекомых потоком заносов. Изв. АН Арм. ССР. (физ.-мат. естеств. и тех. науки) т. II, № 5, 1949.
11. И. В. Егиазаров—Расход донных заносов. ДАН Арм. ССР. т. XI, № 4, 1950.

Բ. Վ. Եղիազարյան

ՀՈՍԱՆՔՈՎ ՏԱՐՎՈՂ ԶՐԱՔԵՐՈՒԿՆԵՐԻ ՏՐԱՆՄՈՐՄԻ ՄԿՁԲՆԱԿԱՆ  
ՏԱՆՈՂ ՈՒԺԻ ՈՐՈՇՄԱՆ ՄԱՍԻՆ

Ա Մ Փ Ո Փ Ո Ւ Մ

Երջանուման մեջ գոնվող ջրաբերուկի հատիկի վրա հոսանքի ճակատային ազդեցությունը համեմատելով հոսանքով ջրաբերուկները տանելու անհրաժեշտ ուժի հետ, կարելի է (1)—(3) հավասարութերաք որոշել սկզբնական տանող ուժը, որտեղ  $C_x$  — ճակատային դիմադրության չափում չունեցող դորձակեցն է և որտեղ  $\Gamma$  — նույնպես չափում չունի:

Այդպիսով՝

$$f = \varphi \left( Re_d, \frac{R}{d}, -\frac{C}{Re_d} \right) \simeq \varphi(Re_d) = \varphi \left( \frac{\Gamma}{C_x} \right),$$

որը հաստատվում է փորձով:

Եթեզօք ցույց է տվել, որ  $f = \varphi(Re_d)$ .

$C_x$  փոփոխությունները որպես գունդիքի թիվից, լավ ուսումնակազմ են, որը թույլ է տալիս որոշել չ դորձակցի հնարավոր փոփոխությունները և սահմանել, որ հատիկների համար, որոնց ձեր մոտ է գնդայինին, հնարավոր են ի-ի մասավորապես կրկնակի փոփոխություններ՝

կապված  $C_x$ -ի նույնագիսի փոփոխությանների հետ  $Re_d = 2 \cdot 10^5 \cdot \mu g$  անցման դեպքում:

Համբավորություն է ստացվում որսչել և նաև թիթեղաձե ջրաքերուկ-ների համար:

Մեծ արագություններով և համեմատաբար խոշոր ջրաքերուկներով հոսանքներում է գործակիցը բոլոր հիմնական ֆրակցիաների համար մնում է հաստատում, եթե այդ բոլոր Փրակցիաների համար  $R_{\text{ed}} > 2 \cdot 10^5$  և այդ պատճառով այդպիսի հասնությունի համար սկզբնական տանող ուժը և հաստակացին հոսանքով տարիող ջրաքերուկների ելքը բավականին լրիվ է որոշվում մեջ մեծությամբ:

Նոյնը վերաբերում է նաև լուսիների մեջ ջրաբերուկներով փոքրերին, քանի որ դեպքերի մեծ մասի համար Red փոքր կրինի 2.10<sup>5</sup>-ից և Cx-ի փոքր տատանումներին համապատասխան է-ը կտառանվի փոքր սահմաններում:

Միայն փոքր արագություններ և ջրաբերուկների մասը ֆրակցիաներ ունեցող հստանքների համար Տ<sub>0</sub> և Ը (ջրաբերուկների ծախոսը) արժեքների վրա, բացի ճշր մեծության ազդեցությունից, լրացուցիչ կազդի խառնուրդի բազադրությունը, բայց այլպիսի ազդեցությունը հաշվի կառնվի հաջակականությունը մեջ մտցնելով C<sub>x</sub>-ի և հետևաբար է-ի համար համապատասխան արժեք:Այդ պատճառով կրամերի մացրած խառնուրդի անհամասեռության մոդուլն իր իմաստը կարգնում է. խառնուրդի M մոդուլ մացնելու անհիմն լինելու մասին հետևությանը էմպիրիկորեն եկել է Զանգը և մասամբ Կագեյր, Խոդրին և Ամերիկական լարսատորիան՝ USWES.

Օպտակարձելով բազմաթիվ հետազոտողների փորձերը, հեղինակն ստացել է կախում՝  $f = \varphi(Re_{\alpha})$  համար (Փիգ. 1) և  $S_0 = \varphi[(\gamma_0 - \gamma)]d_{cr}$  համար (Փիգ. 2). Այդ կախումը տալիս է փորձը  $Re_{\alpha}$  համար  $f = 0.030$  և մեծ  $Re_{\alpha}$  համար  $f = 0.06$ , որոնք համապատասխանում են  $C_x$ -ի վերը և զաված փոփոխություններին:

Այն հանգամանքը, որ  $Re_d$ -ի մեջ արժեքների համար է-ի մեծությունը մեռմ է անփափոխ, ցույց է տալիս համեմատական հարթության փոքր ազդեցությունը և հաստատում է այն ենթադրությունը, որ  $f = \varphi \left( \frac{1}{C_d} \right)$ ,

Այսպիսով՝ աարքեր հետազոտղների բազմաթիվ փորձերի մշակումը հեղինակի կողմից հաստատում է այն կախումը, որն ստացել է Շիլզը տարքեր աեսակարար կշիռ ունեցող ջրաբերուկների հետ կատարած իր ոչ մեծաքանակ փորձերով:

Անցումը՝  $\bar{t} = 0.030$  ( $\bar{t}_{\text{իլդ}} = 0.033$ ) գեղի  $\bar{t} = 0.060$   $\bar{t}_{\text{իլդ}} = 0.070$  անողական էրկան կազմաների շափակի և ծ-ի (լամբինար շերտի հաստության) տարրեր հարաբերությունների գեղքում կապեց շրջանաձև պայմանների հետ. Բայց  $\bar{t}_{\text{իլդ}} = 0.030$  մինիմալ արժեքից  $Re_d$  մեծ արժեքների համար  $\bar{t} = 0.060$  մասսական անողական մեռականացնելու հիմայակառումը:

Ծամ փոքր Փրակցիաների համար շրջանառումը լամբինար է, որն անդրադառնում է Տ. Կ. առֆեօների փաս

Եիւսուր զօւլց է ամելի որ Տօ ձդտում է (6) հայաստանումով ար-

տահայտված հաստատում սահմանի,  $\gamma_0 = 2,7$ ,  $\gamma = 1$ ,  $\eta = 0,012$  համար  $S_0 = 0,16$  կգ/մ<sup>2</sup>:

Հետևաբար է-ի արժեքը լամինար դոնայում աճում է և  $Re_{\alpha}$  նվազմանը զուգընթաց (տես Փիդ. 1):

Հատիկի ձեփ աղղեցությունն արտահայտվում է զգալի կերպով, եթե այն խիստ շեղվում է գնդայինին մոտ ձեփ:

Յ-րդ Փիդուրայի վրա համեմատության մեջ են զրված ջրարերուկների ծախսը (ըստ Հիգրոէլեկտր. լարորատորիայի փորձերի և շատ տափակ ջրարերուկների ծախսը (ըստ Խոպանզի փորձերի): Նույն Փիդուրայից երեսում է հավասարման անկյունային գործակցի Յ անդամ նվազումը, որը համապատասխանում է Յ գործակցի փոփոխմանը մոտ Յ անդամ:

Այսպիսով, տարվադ ջրարերուկների ծախսի համար հեղինակի (10,11) տուղարկած չափում չունեցող կոմպլեքսներով հայտանշային (կրիտերիալ) հավասարման մեջ (7) անհրաժեշտ է  $S_0$  որոշել հաշվի առնելով Յ գործակցի փոփոխությունների աղղեցությունը:

$$\Psi_{\text{արդեց}} \cdot \text{որ } \text{չափում } \text{չունեցող} \frac{\rho''}{\rho^{1/2}} \text{ և } \frac{S - S_0}{S_0} \text{ կոմպլեքսների } \text{միջն}$$

կապը գծային է (10,11), և (7) հավասարումը բերվում է (8) հավասարման տեսքի: Զրաբերուկների ծախսի հաշվարկային բանաձևը բերված է (9) հավասարման տեսքի: Այդ պատճառով ելնելով Փիդ. 1 և 2 վրա ստացված  $\bar{\gamma} = 0,030$  արժեքից,  $Re_{\alpha}$  այն արժեքների դեպքում, եթե  $C_x = 0,4$ , Յ կարելի է արտահայտել (10) հավասարումով և տարվող ջրարերուկների ծախսի համար հավասարումը կստանա (11) նոր արտահայտությունը:

Հետևաբար, լեռնային հոսանքների համար, այլ հավասար պայմանների դեպքում  $Re_{\alpha} \sim 1$  անխուսափելի մեծ արժեքների համար, այսինքն  $\bar{\gamma} = 0,2$  դեպքում ոչ տափակ ջրարերուկների համար նրանց ծախսը կլինի մոտ 2 անգամ ավելի փոքր, քան լուսկների մեջ լարորատոր փորձերում, որոնց համար պեսք է հաշվել  $C_x = 0,4 - 0,5$ :

Այսպիսով, (11) հավասարումը մողելացնում է երեսութը, եթե ընդունվում են հոսանքի ոհմիմի և հատիկի շրջահոսման պայմանների համապատասխանող արժեքները: